

بهینه سازی استخراج، بررسی خصوصیات شیمیایی، ساختاری و فعالیت ضد اکسایشی پلیساکاریدهای محلول در آب برگ فیجوآ

مه رو مرادیان^۱، علی گنجلو^{*۲}، ماندانا بی مکر^۲

۱دانش آموخته کارشناسی ارشد فناوری مواد غذایی، گروه علوم و مهندسی صنایع غذایی، دانشکده کشاورزی، دانشگاه زنجان، زنجان، ایران

۲استادیار گروه علوم و مهندسی صنایع غذایی، دانشکده کشاورزی، دانشگاه زنجان، زنجان، ایران

(تاریخ دریافت: ۹۶/۱۲/۰۱ تاریخ پذیرش: ۹۷/۰۷/۲۹)

چکیده

یافتن منابع طبیعی، ارزان قیمت و جدید پلیساکاریدها به دلیل پتانسیل بالا برای بهره‌برداریدر صنایع غذایی و دارویی ضروری است. لذا مطالعه حاضر با هدف بهینه سازی فرایند استخراج پلیساکاریدها از برگ فیجوآ به منظور به حداقل رساندن راندمان، بررسی خصوصیات شیمیایی، ساختاری و بررسی فعالیت ضد اکسایشی انجام شد. در این راستا تاثیر سه فراستنجه مستقل شامل دمای استخراج (۴۰-۵۰ درجه سلسیوس)، pH آب (۳/۵-۹/۵) و مدت زمان استخراج (۱-۴ ساعت) بر راندمان استخراج پلیساکاریدها ارزیابی گردید. شرایط بهینه به صورت دمای استخراج ۶۸ درجه سلسیوس، pH آب ۶/۷۵ و مدت زمان استخراج ۲/۹۶ ساعت به دست آمد. تحت شرایط بهینه میزان راندمان استخراج پیش بینی شده توسط مدل ۳/۳۸ (درصد) با میزان راندمان استخراج تجربی (۰/۰۲±۰/۳۵) مطابقت داشت. خصوصیات اولیه شیمیایی پلیساکاریدهای استخراج شده از برگ فیجوآ تحت شرایط بهینه تعیین گردید. بر اساس نتایج بررسی خصوصیات شیمیایی، میزان کربوهیدراتات کل معادل ۵۴/۳۷ درصد، پلی فنول‌ها و پروتئین به ترتیب معادل ۰/۱۴ میلی‌گرم معادل گالیک اسید و ۰/۱۸ درصد بود. درطیف تبدیل فوریه مادون قرمز باندهای شاخص پلیساکاریدها مشاهده گردید. پلیساکاریدهای برگ فیجوآ عمدها شامل مونوساکاریدهای گلوكر، ریبوز، مانوز، آرابینوز و گالاكتوز می‌باشند. نتایج بررسی فعالیت ضد اکسایشی بیانگر توانایی مطلوب پلیساکاریدهای برگ فیجوآ برای مهار رادیکال‌های آزاد DPPH و احیا نمودن یون آهن است. درنهایت، برگ فیجوآ را می‌توان به عنوان یک منبع طبیعی، ارزانقیمت و جدید برای استحصال پلیساکاریدها با فعالیت زیستی مطلوب جهت تولید مواد غذایی فراسودمند یا داروها معرفی نمود.

کلید واژگان: استخراج، پلیساکاریدها، برگ فیجوآ، بهینه سازی، فعالیت ضد اکسایشی.

* مسئول مکاتبات: aganjloo@znu.ac.ir

لذا امروزه از تکنیک‌های ریاضی و آماری جدید به منظور بررسی اثرات چندین فراسنجه به صورت همزمان و در زمانی کوتاه‌تر استفاده می‌شود. در این راستا از روش شناسی سطح پاسخ^۲ می‌توان برای بررسی تاثیرات خطی و برهمنکش بین فراسنجه‌های مختلف با تعداد کمتری از آزمایشات و در نهایت بهینه سازی فرایند استفاده نمود. از این تکنیک به طور موقوفیت آمیزی خصوصاً برای بررسی اثرات فراسنجه‌های مختلف و تعیین شرایط بهینه استخراج پلی‌ساقاریدها از منابع مختلف نظری نوعی کلم [۱۱]، قره قاط [۱۲]، کامفری [۱۳]، نوعی قارچ وحشی (Paxillus involutus) [۱۴] و غلاف نخود فرنگی [۵] استفاده شده است.

فیجوآ (*Accasellowiana* Berg) یک گونه خاص متعلق به خانواده موردیان (Myrtaceae) است. فیجوآ یک درختچه همیشه سبز با برگ‌های بسیار خوشبو و بومی نواحی مرتفع آمریکای جنوبی است و با توجه به سازگاری بسیار خوبی که با مناطق نیمه گرمسیری و معتدل دارد در حال حاضر به طور گسترده در نیوزیلند و به طور محدود در برخی از کشورها کشت می‌شود. این گیاه در انتهای قرن نوزدهم به عنوان گیاه زیستی به نواحی مدیترانه معرفی شد اما امروزه برای استحصال میوه خوارکی پرورش می‌یابد [۱۵، ۱۶]. میوه فیجوآ سفید، شیرین، بسیار معطر و شبیه به آناناس است. فعالیت‌های زیستی میوه فیجوآ نظری فعالیت ضد میکروبی، ضد سرطانی، ضد التهابی و فعالیت ضد اکسایشی گزارش شده است [۱۷، ۱۸]. در این پژوهش با توجه به فقدان مطالعاتی در زمینه استخراج پلی‌ساقاریدها از برگ فیجوآ به عنوان یک منبع طبیعی، ارزان و همیشه در دسترس، تاثیر فراسنجه‌های مستقل نظری درجه حرارت، مدت زمان استخراج و pH حلال بر راندمان استخراج پلی‌ساقاریدها با استفاده از روش شناسی سطح پاسخ بر اساس طرح باکس-بنکن بررسی و بهینه سازی فرایند با هدف به حداقل رساندن راندمان استخراج انجام شد. خصوصیات اولیه شیمیایی پلی‌ساقاریدهای به دست آمده تحت شرایط بهینه از طریق آزمون‌های شیمیایی و خصوصیات ساختاری از طریق تعیین مونوساقاریدها، طیف سنجی فرابنفش (UV^۳) و طیف سنجی تبدیل فوریه مادون قرمز (FT-IR^۴) تعیین شد. در نهایت فعالیت ضد اکسایشی پلی‌ساقاریدهای

۱- مقدمه

پلی‌ساقاریدها که با بهم پیوستن مونوساقاریدها از طریق پیوندهای گلیکوزیدی تشکیل می‌شوند بطور گسترده‌ای در منابع گوناگون نظری محصولات کشاورزی، میکروارگانیسم‌ها، منابع دریایی، مایعات بدن حیوانات و پوسته سخت پوستان یافت می‌شوند [۱]. پلی‌ساقاریدها با توجه به فعالیت‌های زیستی مختلف نظری فعالیت ضد توموری [۲]، ضد پیری [۳]، ضد التهابی [۴]، فعالیت ضد اکسایشی [۵] و ضد باکتریایی [۶] نقش بسیار مهمی در رشد و توسعه اندام‌های حیاتی زنده دارند. لذا جستجو برای یافتن منابع طبیعی، جدید و ارزان قیمت به منظور استحصال پلی‌ساقاریدها به علت وجود پتانسیل بالا برای بهره برداری از این بسیارهای طبیعی غیر سمی در صنایع مختلف نظری غذایی و دارویی ضروری به نظر می‌رسد. استخراج از ابتدایی ترین و مهم‌ترین اقدامات در جهت جداسازی انواع ترکیبات زیست فعال خصوصاً پلی‌ساقاریدها از منابع مختلف گیاهی و جانوری بشمار می‌رود [۱۵]. به عنوان مثال، در پژوهشی پلی‌ساقاریدهای جنسینگ پرووی (Lepidium Meyenii) با استفاده از آب داغ استخراج گردید. بر اساس نتایج پلی‌ساقاریدهای جنسینگ پرووی فعالیت مهار کنندگی مطلوبی در برابر رادیکال‌های آزاد هیدروکسیل، آنیون‌های سوپراکسید و DPPH از خود نشان دادند [۷]. در پژوهشی ین و همکاران (۲۰۱۸) پلی‌ساقاریدهای نوعی قارچ به نام شیتاکه^۱ را استخراج نمودند. نتایج بیانگر قدرت بالای احیا کنندگی پلی‌ساقاریدهای قارچ شیتاکه بود [۸]. خمامخ و همکاران (۲۰۱۸) در پژوهشی به استخراج پلی‌ساقاریدهای برگ زیتون پرداختند. نتایج حاکی از توانایی مهار رادیکال‌های آزاد DPPH، قدرت احیا کنندگی و فعالیت ضد میکروبی مطلوب پلی‌ساقاریدهای برگ زیتون بود [۹]. همچنین طی مطالعه ای در سال ۲۰۱۷ مشخص گردید پلی‌ساقاریدهای گیاه پنیرک (*Malva aegyptiaca*) از فعالیت ضد اکسایشی و ضد باکتریایی مطلوبی برخوردار هستند [۱۰].

از آنجایی که فراسنجه‌های متعدد بر کارآبی فرایند استخراج تاثیر گذار هستند استفاده از روش‌های آماری سنتی برای بررسی تاثیرات هر یک به تنهایی بسیار زمانبر می‌باشد و علاوه بر آن ممکن است تعامل میان آنها نیز نادیده گرفته شود.

2. Response surface methodology (RSM)

3. Ultraviolet

4. Fourier transform-infrared

1. Shiitake mushroom

$$Y(\%) = \frac{W_2}{W_1} \times 100$$

در این معادله، Y راندمان استخراج بر حسب درصد، W_2 وزن پلی‌ساقاریدهای خشک بر حسب گرم و W_1 وزن پودر خشک برگ فیجوآ بر حسب گرم می‌باشد.

۳-۲- تعیین خصوصیات شیمیایی و ساختاری

پلی‌ساقاریدهای برگ فیجوآ

۱-۳-۲- روش‌های عمومی

محتوای قند کل به روش فتل- سولفوریک اسید با استفاده از گلوکز به عنوان استاندارد تعیین گردید [۲۰]. وجود قند احیا کننده به روش فهلهینگ مورد بررسی قرار گرفت. محتوای فنول کل به روش رنگ‌سنگی فولین- سیکالتیو مورد بررسی قرار گرفت [۲۱] و بر حسب میلی‌گرم معادل گالیک اسید به ازاء ۱۰۰ میلی‌گرم نمونه بیان شد.

۲-۳-۲- طیف سنجی فرابنفش (UV) و تبدیل فوریه مادون قرمز (FT-IR)

طیف فرابنفش برای تعیین وجود پروتئین در نمونه پلی‌ساقاریدی در دامنه ۴۰۰-۲۰۰۰ نانومتر در دمای ۲۵ درجه سلسیوس توسط دستگاه طیف سنج نوری فرابنفش- مرئیه دست آمد.

از روش طیف سنجی‌تبدیل فوریه مادون قرمز برای شناسایی پیوندهای بین اتم‌های مختلف و گروه‌های عاملی استفاده شد. برای این منظور ۲ میلی‌گرم پلی‌ساقارید با ۳۰۰ میلی‌گرم پودر مخلوط و به صورت قرص با ضخامت ۱ میلی‌متر فشرده شد و پیک‌ها توسط دستگاه طیف سنج تبدیل فوریه مادون قرمز در محدوده فرکانس cm^{-1} ۴۰۰۰-۴۰۰ به دست آمد [۲۲].

۳-۳-۲- شناسایی مونو‌ساقاریدها

به منظور شناسایی مونو‌ساقاریدها از روش الاتونجی و همکاران (۲۰۱۶) با اندکی تغییرات استفاده شد [۲۳]. ۳۰ میلی‌گرم از نمونه پلی‌ساقاریدی در ۲ میلی‌لیتر تری فلورورو استیک اسید (۲ مولار) حل شد و به مدت ۳ ساعت در آون با دمای ۱۱۰ درجه سلسیوس قرار گرفت. بعد از حذف تری فلورورو استیک اسید باقیمانده توسط اتانول و تبخیر کننده چرخشی تحت خلاء ترکیب به دست آمده با ۲۰ میلی‌گرم هیدروکسیل-آمین هیدروکلرید و ۲ میلی‌لیتر پیریدین در دمای

برگ فیجوآ به روش‌های مها رادیکال‌های آزاد، ۱- دی‌فنیل- ۲- پیکریل- هیدرازیل (DPPH) و قدرت‌تحایاکنندگی‌آهن ارزیابی گردید.

۲- مواد و روش‌ها

۱-۲- آماده‌سازی نمونه

برگ‌های فیجوآ در پاییز ۹۴ از شهرستان رامسر تهیه شد و پس از شستشو در سایه و در دمای اتاق تا رسیدن به رطوبت $75\pm 0/2$ درصد خشک شدند. برای حذف برخی از قندهای آزاد، اسیدهای آمینه و برخی فنول‌ها، نمونه‌های خشک شده با اتانول ۹۵ درصد (با رعایت نسبت ۲۰ میلی‌لیتر حلال به ازاء یک گرم ماده اولیه) مخلوط شدند و در حمام آب گرم با دمای ۷۰ درجه سلسیوس به مدت ۲ ساعت قرار گرفتند. سپس مخلوط از کاغذ صافی عبور داده شد و در دمای ۴۰ درجه سلسیوس به مدت ۲۴ ساعت خشک گردید [۱۹].

۲-۲- استخراج پلی‌ساقاریدهای محلول در آب

برای استخراج پلی‌ساقاریدها، ۳ گرم پودر خشک برگ فیجوآ گذرانده شده از الک با مش ۱۸ با ۹۰ میلی‌لیتر آب مخلوط شد. فرایند استخراج بر اساس فرایند حرارت (۰ درجه سلسیوس)، مدت زمان استخراج (۱-۴ ساعت) و pH (۵-۹/۵) انجام شد. عصاره به دست آمده از کاغذ صافی عبور داده شد و در دقیقه به مدت ۱۵ دقیقه و دمای ۲۵ درجه سلسیوس سانتریفیوژ گردید. محلول رویی به دست آمده از سانتریفیوژ توسط دستگاه تبخیر کننده چرخشی تحت خلاء در دمای ۶۰ درجه سلسیوس تا رسیدن به یک پنجم حجم اولیه تغییض شد. پروتئین‌زدایی به روش Sevag انجام گرفت. سپس ۴ برابر حجم عصاره تغییض شده اتانول ۹۵ درصد اضافه شد و به مدت یک شب در دمای ۴ درجه سلسیوس نگهداری گردید. در نهایت برای به دست آوردن پلی‌ساقاریدهای خام از نیتروی گریز از مرکز (۵۰۰۰ دور در دقیقه، ۲۰ دقیقه) استفاده شد و ترکیب رسوب کرده با استون و اتانول خالص شسته شد و در دمای ۴۰ درجه سلسیوس تا زمان رسیدن به وزن ثابت خشک گردید [۱۹]. راندمان استخراج پلی‌ساقاریدها از طریق رابطه زیر محاسبه گردید:

۲۰ $\text{FeCl}_3 \cdot 6\text{H}_2\text{O}$ کلریدریک اسید ۴۰ میلیمولار و محلول میلی مولار می باشد. محلول معرف تازه با مخلوط کردن ۲۵ میلی لیتر بافر استات، ۲/۵ میلی لیتر محلول TPTZ و ۲/۵ میلی لیتر FeCl₃.6H₂O آماده شد. ۱۵۰ میکرولیتر از محلول پلی ساکاریدی با غلظت های مختلف (۰/۶، ۰/۴، ۰/۸ و ۱ میلی گرم بر میلی لیتر) با ۲۸۵۰ میکرولیتر از محلول FRAP مخلوط گردید و به مدت ۳۰ دقیقه در دمای اتاق و محیط تاریک نگهداری شد. میزان جذب مخلوط در طول موج ۵۹۳ نانومتر قرائت گردید.

۵-۲- تجزیه و تحلیل داده ها

در این مطالعه، برای اعمال روش شناسی سطح پاسخ، بررسی روابط میان فرستنده های مستقل و پاسخ، ایجاد نمودارهای سه بعدی و بهینه یابی از نرم افزار آماری Design Expert ۷.0.3 (Minneapolis, USA) استفاده شد. درجه حرارت، مدت زمان استخراج و pH حلال فرستنده های مستقل مورد مطالعه در این پژوهش بودند. آزمایشات بر اساس طرح باکس-بنکن شامل ۱۷ تیمار با ۵ تکرار در نقطه مرکزی بود. سطوح بالا (+1)، میانی (صفر) و پایینی (-1) فرستنده های مورد مطالعه بر اساس مطالعات اولیه انتخاب گردید (جدول ۱). از مدل چند جمله ای درجه دوم برای مدل سازی فرایند به منظور بیان اثرات اصلی و متقابل فرستنده های مستقل بر پاسخ استفاده می شود. مدل درجه دوم را می توان به صورت زیر نوشت:

$$Y(\%) = \beta_0 + \sum_{i=1}^3 \beta_i X_i + \sum_{i=1}^3 \beta_{ii} X_i^2 + \sum_{i < j = 2}^3 \beta_{ij} X_i X_j$$

در این رابطه β_0 ، β_i ، β_{ii} و β_{ij} ضرایب رگرسیونی به ترتیب رای اعرض از مبدأ، اثرات خطی، درجه دوم، متقابل، X_i و X_j متغیرهای مستقل هستند. از آزمون ضعف برازش، ضریب تغییرات (C.V.)، ضریب همبستگی (R^2)، ضریب همبستگی اصلاح شده (adj-R²) و عدد p در سطح اطمینان ۹۵ درصد برای بررسی صحت مدل و تاثیر فرستنده ها استفاده شد. برای تعیین شرایط بهینه از روش بهینه سازی عددی^۰ با هدف به حداقل رسیدن راندمان استخراج پلی ساکاریدهای برگ فیجوآ استفاده شد. برای اعتبار سنجی مدل پیشنهادی، مقادیر پیشنهادی شده با مقادیر تجربی به دست آمده تحت شرایط بهینه مقایسه گردید.

۹۰ درجه سلسیوس به مدت یک ساعت تیمار شد. سپس ترکیب به دست آمده با استفاده از غشاء نایلونی با قطر منافذ ۰/۴۵ میکرومتر صاف گردید. در نهایت مشتقات تهیه شده توسط دستگاه کروماتوگرافی گازی مجهر به آشکارساز یونیزاسیون شعله و ستون مؤین سیلیسی شناسایی شدند.

۴-۲- اندازه گیری فعالیت ضد اکسایشی

پلی ساکاریدهای برگ فیجوآ

۴-۲-۱- اندازه گیری فعالیت ضد اکسایشی به روش

۱،۱- دیفنیل-۲- پیکریل- هیدرازیل (DPPH) فعالیت مهار رادیکالهای آزاد DPPH توسط پلی ساکاریدهای برگ فیجوآ طبق روش ژی و همکاران (۲۰۱۲) با اندکی تغییرات مورد بررسی قرار گرفت [۲۴]. به طوری که ۱/۵ میلی لیتر از نمونه پلی ساکاریدی با غلظت های مختلف (۰/۲، ۰/۴، ۰/۶، ۰/۸ و ۱ میلی گرم بر میلی لیتر) با ۱/۵ میلی لیتر از محلول DPPH (۰/۱ میلی مول بر لیتر در اتانول ۹۵ درصد) مخلوط شد. مخلوط حاصل هم زده و به مدت ۳۰ دقیقه در دمای اتاق و محیط تاریک نگهداری شد. مقدار جذب در ۵۱۷ نانومتر اندازه گیری گردید. برای محاسبه درصد فعالیت مهار کنندگی رادیکالهای آزاد DPPH از رابطه زیر استفاده شد.

$$\text{DPPH} = \frac{1 - (A_2 - A_1)}{A_0} \times 100$$

در رابطه، A_0 : میزان جذب محلول DPPH بدون اضافه کردن نمونه؛ A_1 : میزان جذب نمونه پلی ساکاریدی بدون اضافه کردن محلول DPPH؛ A_2 : میزان جذب محلول DPPH و نمونه می باشد.

۴-۲-۲- اندازه گیری میزان فعالیت ضد اکسایشی به

روش قدرت احیا کنندگی آهن (FRAP)

برای اندازه گیری فعالیت ضد اکسایشی به روش قدرت احیا کنندگی آهن از روش یو و همکاران (۲۰۱۴) استفاده شد [۲۵]. محلول های مورد نیاز شامل بافر استات ۳۰۰ میلی مولار با pH معادل ۳/۶، محلول ۱۰ میلی مولار TPTZ تهیه شده با

Table 1 Levels of independent variables and related codes

Process variables	Symbol	-1	0	+1
Temperature (°C)	A	50	70	90
pH	B	3.5	6.5	9.5
Extraction time (h)	C	1	2.5	4

مقدار کم ضریب تغییرات (۵/۰۵ درصد) نیز تایید کننده دقت مدل برآورد شده بر داده‌های تجربی می‌باشد. در شکل ۱ نیز تطابق خوب نتایج تجربی و مقادیر پیش‌بینی شده با مدل رگرسیونی قابل مشاهده است. نمودار پرتوویژشن به منظور بررسی ارزیابی حساسیت پاسخ به فراسنجه‌های مستقل مورد مطالعه در شکل ۲ نشان داده شده است. وجود خط صاف و انحنا در این نمودار به ترتیب نشانگر عدم حساسیت و حساسیت پاسخ به تغییرات فراسنجه‌های مستقل است [۲۶]. با توجه به شکل ۲ واضح است که راندمان استخراج پلی‌ساقاریدهای برگ فیجوآ به ترتیب تحت تاثیر مدت زمان استخراج، درجه حرارت و pH حلal قرار دارد.

رابطه رگرسیونی زیر مدل برآورد شده به منظور تخمین راندمان استخراج پلی‌ساقاریدهای برگ فیجوآ تحت شرایط مورد مطالعه را به صورت کد گذاری شده نشان می‌دهد.

$$Y = +3.22 + 0.24 A + 0.22 B + 0.36 C - 0.23 AB - 0.14 AC + 14 BC - 1.18 A^2 - 0.51 B^2 - 0.56 C^2$$

در این رابطه، Y بیانگر راندمان استخراج پلی‌ساقاریدهای برگ فیجوآ و A، B و C به ترتیب فراسنجه‌های کد گذاری شده برای درجه حرارت (درجه سلسیوس)، pH حلal و مدت زمان استخراج (ساعت) می‌باشد.

۳- نتایج و بحث

۳-۱- بررسی تأثیر فراسنجه‌های مستقل بر راندمان استخراج پلی‌ساقاریدهای از برگ فیجوآ

مقادیر تجربی راندمان استخراج پلی‌ساقاریدهای برگ فیجوآ برای ۱۷ تیمار مورد مطالعه در جدول ۲ آورده شده است. بر این اساس مقدار راندمان استخراج پلی‌ساقاریدهای برگ فیجوآ در محدوده ۳/۳۷ - ۱/۰۳ درصد قرار داشت. نتایج تجزیه و تحلیل واریانس به دست آمده برای راندمان استخراج پلی‌ساقاریدهای برگ فیجوآ در جدول ۳ ارائه شده است. همان‌طور که ملاحظه می‌شود اثرات خطی، درجه دوم و متقابل فراسنجه‌های مستقل با توجه به مقدار بالای F-value و مقدار P به دست آمده تأثیر معنی داری در سطح اطمینان ۹۵ درصد بر راندمان استخراج پلی‌ساقاریدهای برگ فیجوآ داشتند. از طرفی آزمون ضعف برآش مدل در سطح اطمینان ۹۵ درصد معنی دار نبود که نشان‌دهنده کارآئی مدل مورد استفاده برای پیش‌بینی راندمان استخراج پلی‌ساقاریدهای برگ فیجوآ می‌باشد (جدول ۳). بر اساس جدول ۳ ضریب همبستگی و همبستگی اصلاح شده مدل به ترتیب معادل ۰/۹۸ و ۰/۹۹ بود که حاکی از دقیقای مدل برآش شده برای پیش‌بینی مقادیر پاسخ است.

Table 2 The Box-Behnken design experimental and response values for the extraction yield.

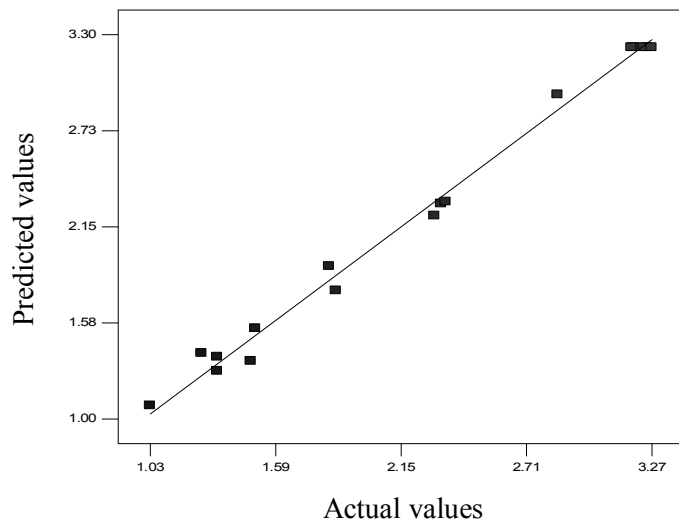
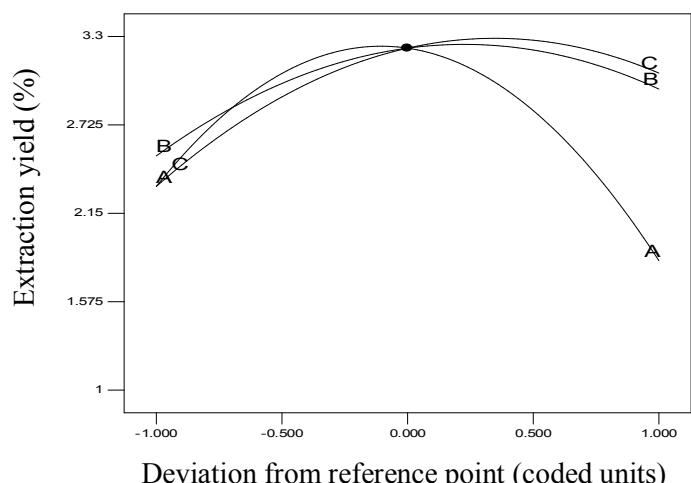
Run	A: Temperature (°C)	B: pH	C: Extraction time (h)	Extraction yield (%)
1	50.00	3.50	2.50	1.26
2	90.00	3.50	2.50	1.33
3	50.00	9.50	2.50	2.33
4	90.00	9.50	2.50	1.48
5	50.00	6.50	1.00	1.33
6	90.00	6.50	1.00	1.03
7	50.00	6.50	4.00	2.35
8	90.00	6.50	4.00	1.50
9	70.00	3.50	1.00	1.86
10	70.00	9.50	1.00	1.87
11	70.00	3.50	4.00	2.30
12	70.00	9.50	4.00	2.85
13	70.00	6.50	2.50	3.24
14	70.00	6.50	2.50	3.37
15	70.00	6.50	2.50	3.25
16	70.00	6.50	2.50	3.24
17	70.00	6.50	2.50	3.35

Table 3 Analysis of variance (ANOVA) for response surface quadratic model obtained from experimental results.

Source	Sum of Squares	df	Mean Square	F value	P value Prob>F
Model	11.320	9	1.260	98.26	< 0.0001
A: Temperature	0.470	1	0.470	38.62	0.00050
B:pH	0.400	1	0.400	31.39	0.00080
C:Extraction time	1.060	1	1.060	90.23	< 0.0001
AB	0.210	1	0.210	17.55	0.00470
AC	0.076	1	0.076	6.27	0.04460
BC	0.073	1	0.073	6.98	0.04760
A^2	5.850	1	5.850	454.46	< 0.0001
B^2	1.100	1	1.100	81.56	< 0.0001
C^2	1.310	1	1.310	98.38	< 0.0001
Residual	0.089	7	0.013		
Lack of Fit	0.072	3	0.024		0.0613
Pure Error	0.017	4	4.150E-003		
R^2	0.9922		ADJ-R ²	0.9822	C.V.
					5.05%

تأثیر فراسنجه‌های مستقل مختلف بر میزان راندمان استخراج

پلی‌ساقاریدهای برگ فیجوآ به صورت نمودارهای سه بعدی و نمودارهای دو بعدی کانتور در شکل ۱ نشان داده شده است. به طور کلی نمودارهای کانتور دارای خطوط دایره‌ای یا بیضوی هستند. نمودارهای کانتور دایره‌ای بیانگر عدم وجود اختلاف معنی دار بین متغیرها است در حالی‌که نمودارهای کانتور بیضوی حاکی از وجود اختلاف معنی دار بین متغیرها می‌باشد [۲۷]. همان‌طور که ملاحظه می‌شود با افزایش درجه حرارت تا ۷۰ درجه سلسیوس راندمان استخراج پلی‌ساقاریدهای برگ فیجوآ افزایش یافت. افزایش دما با کاهش گرانروی حلal که منجر به افزایش میزان نفوذ حلal به داخل ماتریکس گیاهی می‌شود و افزایش توانایی حلal برای حل کردن ترکیبات هدف در خود سبب افزایش راندمان استخراج می‌گردد [۱۱]. اما در ادامه با افزایش درجه حرارت میزان راندمان استخراج پلی‌ساقاریدها کاهش یافت. استفاده از دمای بالا به دلیل تخریب حرارتی ساختار پلی‌ساقاریدها منجر به کاهش راندمان استخراج پلی‌ساقاریدها می‌گردد [۲۸]. نتیجه مشابهی توسط لیو و همکاران (۲۰۱۸) گزارش شده است به طوری که آنها نیز دریافتند که استفاده از درجه حرارت بالای ۷۰ درجه سلسیوس سبب کاهش راندمان استخراج پلی‌ساقاریدهای نوعی قارچ وحشی می‌گردد [۱۴]. با افزایش pH حلal تا حدود ۶/۵ راندمان استخراج پلی‌ساقاریدها افزایش یافت. همان‌طور که مشاهده می‌شود با افزایش بیشتر pH حلal به سمت محدود قلیایی اندکی از راندمان استخراج کاسته شد. ژانگ و همکاران (۲۰۱۶)،

**Fig 1** Plot of Actual vs. Predicted values**Fig 2** Perturbation plot of extraction yield against (A) Temperature (°C), (B) pH and (C) Extraction time (h).

مدت زمان راندمان استخراج تغییر محسوسی مشاهده نگردید. بر این اساس می‌توان نتیجه گرفت جداسازی بخش اعظم پلی‌ساقاریدهای برگ فیجوآ طی ۳ ساعت اولیه فرایند رخ داده است و سپس از سرعت جداسازی پلی‌ساقاریدهای کاسته شده است. نتایج به دست آمده با نتایج وانگ و همکاران (۲۰۱۶) و سان و همکاران (۲۰۱۰) مطابقت داشت.

[۳۲، ۱۱]

وانگ و همکاران (۲۰۱۱) و وو و همکاران (۲۰۰۷) دریافتند که با افزایش pH حلال تا حدود ۷ راندمان استخراج پلی‌ساقاریدها افزایش می‌یابد در حالی که با افزایش بیشتر pH تغییر چشمگیری در راندمان استخراج پلی‌ساقاریدها مشاهده نمی‌شود [۳۱-۲۹]. به علاوه استفاده از pH پایین (۳/۵) نیز سبب آبکافت پلی‌ساقاریدها و در نتیجه کاهش راندمان استخراج می‌گردد [۳۱].

با افزایش مدت زمان استخراج تا حدود ۳ ساعت راندمان استخراج پلی‌ساقاریدها افزایش یافت اما با افزایش بیشتر

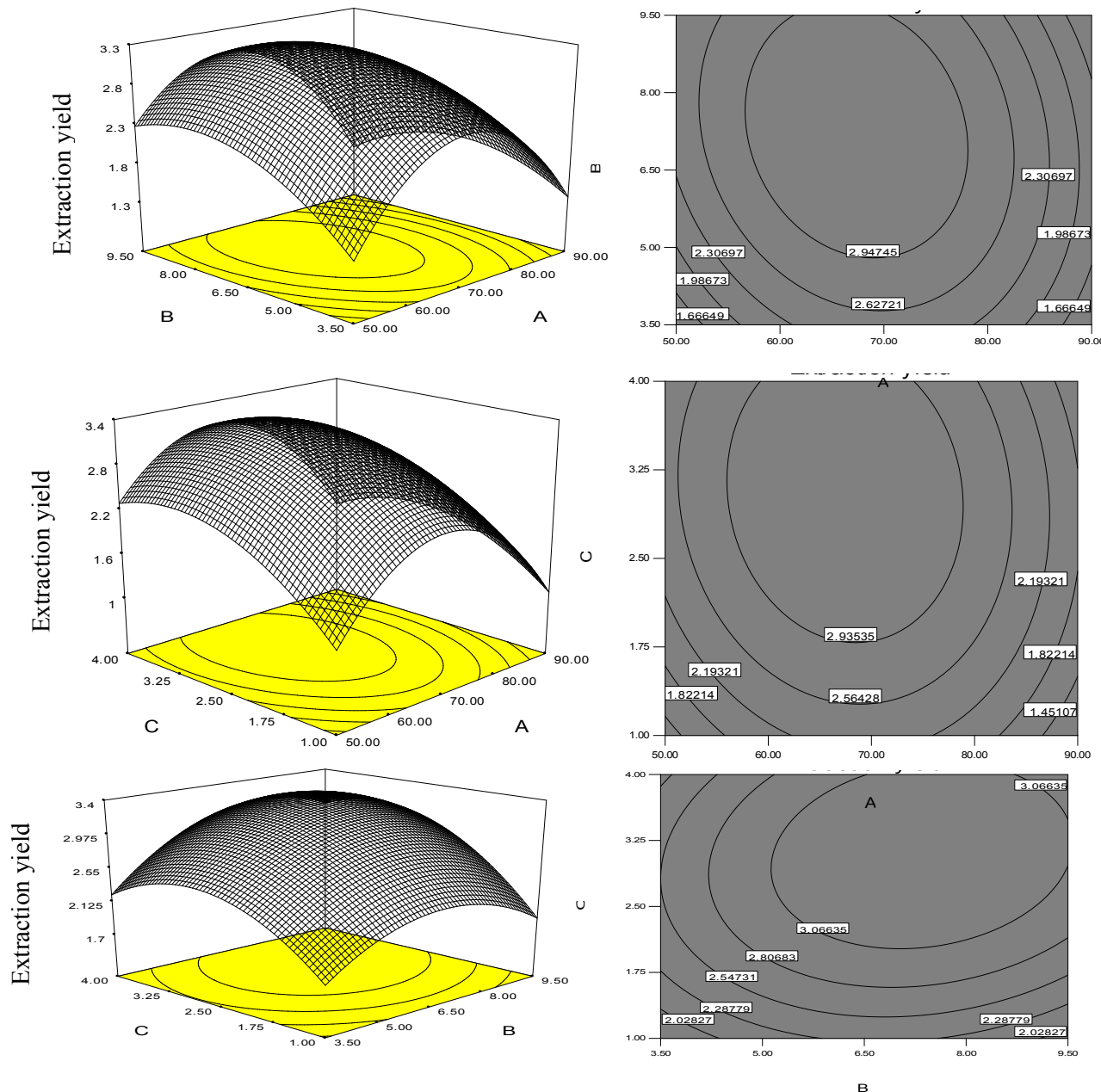


Fig 3 Response surface plots and contour plots showing the effects of (A) Temperature (°C), (B) pH and (C) Extraction time (h) on the extraction yield of water-soluble polysaccharides from Feijoa leaves.

سلسیوس، مدت زمان استخراج ۱۷۸ دقیقه و pH معادل ۶/۷۵ استخراج پلی‌ساکاریدها در شرایط بهینه اصلاح شده در سه تکرار به منظور مقایسه نتیجه پیشینی شده با مقدار تجربی انجام شد. تحت شرایط بهینه اصلاح شده، راندمان تجربی استخراج پلی‌ساکاریدهای برگ فیجوآ نزدیک به مقدار پیشینی شده بود (جدول ۳). در نتیجه، روش شناسی سطح پاسخ بر اساس طرح باکس-بنکن را می‌توان به عنوان یک ابزار دقیق و قاطع برای پیشینی راندمان استخراج پلی‌ساکاریدهای برگ فیجوآ نیز در نظر گرفت.

Table 4 Predicted and experimental values of the response at optimum conditions.

Experimental	Extraction yield (%)	pH	Extraction time (h)	Temperature (°C)
3.35±0.02	3.38	6.75	2.96	68

پویش طیف کامل فرابنفش پلی‌ساکاریدهای برگ فیجوآ در شکل ۴ نشان داده شده است. با توجه به وجود پیک در طول موج ۲۰۰-۲۱۵ نانومتر و عدم وجود پیک در دامنه ۲۸۰-۲۵۰ نانومتر ترکیب استخراج شده را می‌توان به عنوان پلی‌ساکاریدهای برگ فیجوآ و عاری یا وجود مقدار ناچیزی از پروتئین‌ها یا نوکلئیک اسیدها معرفی نمود [۳۳]. نتیجه به دست آمده تایید کننده نتیجه مربوط به تجزیه و تحلیل اولیه شیمیایی پلی‌ساکاریدهای برگ فیجوآ است (میزان پروتئین معادل ۰/۱۸±۰/۰۴٪).

همان‌طور که در شکل ۵ ملاحظه می‌شود طیف مادون قرمز پلی‌ساکاریدهای برگ فیجوآ شامل یک پیک در محدوده $3200-3600\text{ cm}^{-1}$ است که مربوط به ارتعاشات کششی گروه‌های هیدروکسیل است [۳۴]. باند مشاهده شده در محدوده 2900 cm^{-1} مربوط به ارتعاشات کششی و خمشی پیوند C-H می‌باشد که این باند به عنوان باند شاخص قندها محسوب می‌شود [۳۵]. وجود باند در محدوده 1617 cm^{-1} -۱۴۳۷ مربوط به ارتعاشات کششی نامتقارن COO^- است که نشان می‌دهد پلی‌ساکاریدهای برگ فیجوآ ماهیت اسیدی دارند [۳۶]. مشاهده باندر محدوده $1000-1200\text{ cm}^{-1}$ تایید کننده ارتعاشات کششی O-H-C-O-C در گروه‌های جانبی و باندهای گلیکوزیدی (C-O-C) است. مشاهده باند در محدوده 1035 cm^{-1} تایید کننده فرم پیرانوژی قندها است [۳۷].

۲-۳- بهینه سازی و اعتبار سنجی شرایط فرایند استخراج پلی‌ساکاریدهای برگ فیجوآ

شرایط بهینه برای دستیابی به بالاترین راندمان استخراج پلی‌ساکاریدهای برگ فیجوآ به صورت درجه حرارت ۶۷/۵۴ درجه سلسیوس، مدت زمان استخراج ۱۷۷/۶۰ دقیقه و pH معادل ۶/۷۵ به دست آمد. تحت این شرایط، حداقل راندمان استخراج پیشینی شده توسط مدل ۳/۳۸ درصد بود. با این حال، با توجه به محدودیتهای شرایط واقعی استخراج، شرایط بهینه بدین شرح اصلاح شد: درجه حرارت ۶۸ درجه

۳-۳- بررسی خصوصیات اولیه شیمیایی

خصوصیات اولیه شیمیایی پلی‌ساکاریدهای برگ فیجوآ تحت شرایط بهینه تعیین گردید. بر اساس نتایج به دست آمده میزان کربوهیدرات کل در پلی‌ساکاریدهای برگ فیجوآ معادل $0/۹۵\pm 0/۳۷$ درصد بود. وجود قندهای احیا کننده در پلی‌ساکاریدهای برگ فیجوآ براساس نتیجه آزمون فهلهینگ متفاوت است. میزان پلی‌فنول‌ها و پروتئین به ترتیب معادل $0/۱۴\pm 0/۱۸$ میلی‌گرم معادل گالیک اسید به ازاء ۱۰۰ میلی‌گرم نمونه و $0/۰۴\pm 0/۰۱$ درصد بود. مقادیر ناچیز پلی‌فنول‌ها و پروتئین‌ها حاکی از کفايت مراحل آماده سازی و پروتئین زدایی است.

۳-۴- شناسایی مونوساکاریدها

نتایج حاصل از تجزیه و تحلیل مونوساکاریدها توسط دستگاه کروماتوگرافی گازی مجهز به طیف سنجی جرمی نشان داد که مونوساکاریدهای تشکیل دهنده پلی‌ساکاریدهای برگ فیجوآ عمدها شامل ریبوز (۱/۲۱ درصد)، آرابینوز (۴/۳۷ درصد)، مانوز (۵/۱۰ درصد)، گلوکز (۴/۱۹ درصد) و گالاكتوز (۳/۲۱ درصد) می‌باشد. در نتیجه پلی‌ساکاریدهای برگ فیجوآ را می‌توان به عنوان یک هتروپلی‌ساکارید محسوب نمود.

۳-۵- تجزیه و تحلیل ساختار پلی‌ساکاریدهای برگ فیجوآ

۰/۲ تا ۱ میلی گرم بر میلی لیتر فعالیت مهار رادیکال‌های آزاد DPPH از ۶۷ تا ۷۴/۲۵ درصد افزایش می‌یابد. علیرغم اینکه فعالیت مهار کنتدگی رادیکال‌های آزاد توسط پلی‌ساقاریدهای برگ فیجوآ در سطح مطلوبی قرار دارد اما نتایج به دست آمده بیانگر آنست که فعالیت مهار کنتدگی پلی‌ساقاریدهای برگ فیجوآ در تمام غلظت‌های مورد مطالعه کمتر از توانایی ویتامین ث می‌باشد. افزایش فعالیت مهار کنتدگی رادیکال‌های آزاد با افزایش غلظت پلی‌ساقاریدها را می‌توان به افزایش شدت آزاد سازی الکترون‌ها یا اتم‌های هیدروژن و انتقال آنها به رادیکال‌های آزاد مرتبط دانست [۳۹]. ذکر این تکته ضروری است که نوع مونوساقاریدها، وزن مولکولی، نوع پیوندهای گلیکوزیدی، وجود ترکیباتی نظیر پلی‌فنول‌ها و گروه‌های مانند کربونیل و کربوکسیل در ساختار پلی‌ساقاریدها بر فعالیت ضد اکسایشی آنها تاثیر گذار است [۴۰]. بررسی منابع نشان می‌دهد که فعالیت مهار کنتدگی رادیکال‌های آزاد توسط پلی‌ساقاریدهای برگ فیجوآ بیشتر از پلی‌ساقاریدهای برگ جینسینگ پرومی [۷]، کلم راپا [۱۱]، قوه قاط [۱۲] و پوست هندوانه [۴۱] و اندکی کمتر از پلی‌ساقاریدهای پوست انار [۴۲] در غلظت برابر می‌باشد.

۷-۳- بررسی فعالیت ضد اکسایشی به روش

FRAP

جايگريني انتقالی یون‌های فلزی نظیر Cu^{2+} یا Fe^{2+} می‌تواند سبب آغاز فرایندهای تولید رادیکال‌های آزاد گردد که در نهایت منجر به اکسایش چربی‌ها و وارد شدن آسیب به دئوكسی‌ریبونوکلئیک‌اسید می‌گردد. احیاء شدن یون‌های فلزی می‌تواند اثر حفاظتی بر آسیب‌های اکسایشی داشته باشد [۴۳]. فعالیت احیا کنتدگی برخی از گروه‌های عاملی نظیر OH^- ، SH ، S-C=O ، COOH ، $\text{C}_6\text{H}_5\text{COO}^-$ و O_2^- می‌باشد [۳۶]. از طرفی ارتباط بین قدرت احیاء کنتدگی پلی‌ساقاریدهای گیاهی با ظرفیت تعامل آنها با پیش‌سازهای پراکسید نیز گزارش شده است [۴۴]. همان‌طور که در شکل ۶ (ب) ملاحظه می‌شود با افزایش غلظت پلی‌ساقاریدهای برگ فیجوآ قدرت احیا کنتدگی آنها نیز افزایش می‌یابد. به‌طوری که با افزایش غلظت پلی‌ساقاریدها در دامنه ۰/۲ - ۱ میلی گرم بر میلی لیتر قدرت احیا کنتدگی آهن از ۱/۱۲ تا ۱/۹۸ میلی مول بر لیتر افزایش یافت. قدرت احیا کنتدگی آهن پلی‌ساقاریدهای برگ فیجوآ

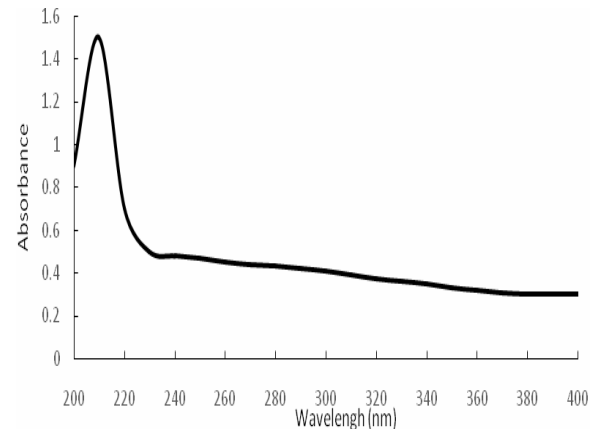


Fig 4 UV spectra of water-soluble polysaccharides from Feijoa leave.

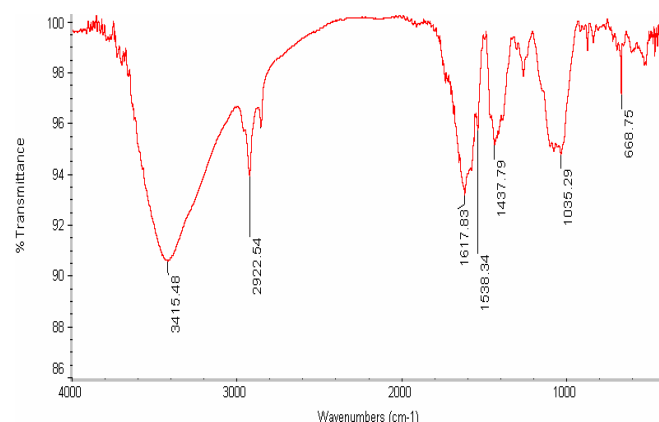


Fig 5 FT-IR spectra of water-soluble polysaccharides from Feijoa leave within the frequency range of 4000–400 cm^{-1} .

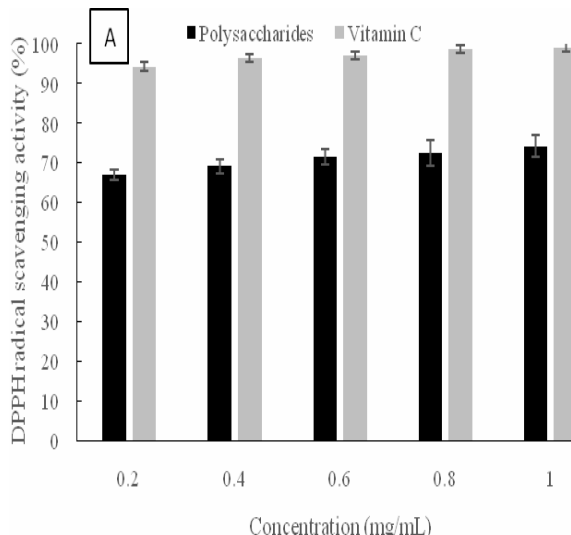
۶-۳- بررسی فعالیت ضد اکسایشی به روش

DPPH

DPPH یک رادیکال آزاد ناپایدار با بیشترین مقدار جذب در ۵۱۷ نانومتر است که با دریافت هیدروژن به فرم پایدار $\text{DPPH} \cdot \text{H}$ تبدیل می‌شود که این مساله با تغییر رنگ محلول DPPH و تغییر میزان جذب محلول آن مشخص می‌شود [۳۸]. لذا این روش به طور گسترده برای ارزیابی فعالیت مهار کنتدگی رادیکال‌های آزاد مورد استفاده قرار می‌گیرد. در شکل ۶ (الف) توانایی پلی‌ساقاریدهای برگ فیجوآ در مقارنه با (الف) توانایی پلی‌ساقاریدهای برگ فیجوآ در غلظت‌های ویتامین ث برای مهار رادیکال‌های آزاد DPPH در غلظت‌های مختلف نشان داده شده است. همان‌طور که ملاحظه می‌شود میزان مهار رادیکال‌های آزاد DPPH به غلظت پلی‌ساقاریدها وابسته است به طوری که با افزایش غلظت پلی‌ساقاریدها از

پلی‌ساقاریدهای برگ فیجوآ عمدتاً از مونوساقاریدهای گلوکز، ریبوز، مانوز، آرabinوز و گالاکتوز تشکیل شده است. با بررسی فعالیت ضد اکسایشی به روش مهار کنندگی رادیکال‌های آزاد DPPH و قدرت احیاء کنندگی آهن مشخص گردید پلی‌ساقاریدهای برگ فیجوآ از فعالیت ضد اکسایشی مطلوبی برخوردار هستند. بر اساس نتایج پژوهش حاضر برگ‌های فیجوآ را می‌توان به عنوان یک منبع طبیعی، جدید و ارزان قیمت حاوی پلی‌ساقاریدهایی با فعالیت ضد اکسایشی مطلوب معرفی نمود. در نهایت انجام مطالعات تكمیلی در راستای بررسی ویژگی‌های عملکردی پلی‌ساقاریدهای برگ فیجوآ و امکان سنجی استفاده از آنها به عنوان یک عامل ضد اکسایش در جهت تولید مواد غذایی فراسودمند ضروری به نظر می‌رسد.

بیش از مقدار گزارش شده برای پلی‌ساقاریدهای میوه *Zizyphus lotus* [45] بود.



۵- تشكر و قدردانی

نویسنده‌گان این مقاله از معاونت پژوهشی و فناوری دانشگاه زنجان جهت حمایت‌های مالی این تحقیق کمال تشكر و قدردانی را دارند.

۶- منابع

- [1] Afshari, K., Samavati, V., Shahidi, S.A. 2015, Ultrasonic-assisted extraction and *in vitro* antioxidant activity of polysaccharide from *Hibiscus* leaf. International Journal of Biological Macromolecules, 74, 558-567.
- [2] Wang, J., Bao, A., Meng, X., Guo, H., Zhang, Y., Zhao, Y., Kong, W., Liang, J., Yao, J., Zhang, J. 2018, An efficient approach to prepare sulfated polysaccharide and evaluation of anti-tumor activities *in vitro*. Carbohydrate Polymers, 184, 366-375.
- [3] Li, S., Liu, M., Zhang, C., Tian, C., Wang, X., Song, X., Jing, H., Gao, Z., Ren, Z., Liu, W., Zhang, J., Jia, L. 2018, Purification, *in vitro* antioxidant and *in vivo* anti-aging activities of soluble polysaccharides by enzyme-assisted extraction from *Agaricus bisporus*. International Journal of Biological Macromolecules, 109, 457-466.
- [4] Mzoughi, Z., Abdelhamid, A., Rihouey, C., Le Cerf, D., Bouraoui, A., Majdoub, H. 2018, Optimized extraction of pectin-like polysaccharide from *Suaeda fruticosa* leaves: Characterization, antioxidant, anti-inflammatory and analgesic

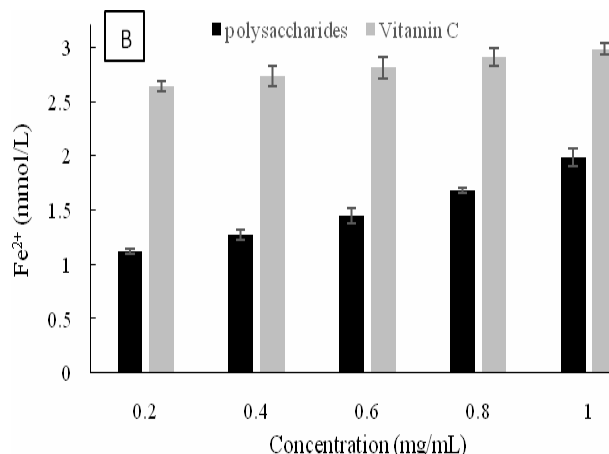


Fig 6 The effect of increasing concentration of water-soluble polysaccharides from Feijoa leave on DPPH radical scavenging activity (A) and FRAP (B). All the data were expressed as mean \pm SD of three replicates.

۴- نتیجه گیری

در این پژوهش فرایند استخراج پلی‌ساقاریدهای برگ فیجوآ با در نظر گرفتن درجه حرارت، مدت زمان استخراج و pH حلal به عنوان فراسنجه‌های مستقل بهینه سازی گردید. شرایط بهینه به صورت ۶۷/۵۴ درجه سلسیوس درجه حرارت ، ۱۷۷/۶۰ دقیقه مدت زمان استخراج و pH معادل ۶۷/۵ به دست آمد. با بررسی خصوصیات شیمیایی و ساختاری وجود پلی‌ساقاریدها به عنوان ترکیب غالب تایید گردید.

- L.International Journal of Biological Macromolecules, 107, 938-948.
- [13] Shang, H., Zhou, H., Duan, M., Li, R., Wu, H., Lou, Y. 2018, Extraction condition optimization and effects of drying methods on physicochemical properties and antioxidant activities of polysaccharides from comfrey (*Symphytum officinale* L.) root. International Journal of Biological Macromolecules, In Press. <https://doi.org/10.1016/j.ijbiomac.2018.01.198>.
- [14] Liu, Y., Zhou, Y., Liu, M., Wang, Q., Li, Y. 2018, Extraction optimization, characterization, antioxidant and immunomodulatory activities of a novel polysaccharide from the wild mushroom *Paxillus involutus*. International Journal of Biological Macromolecules, 112, 326-332.
- [15] Schotmans, W.C., East, A., Thorp, G., Woolf, A.B. *Feijoa (Acca sellowiana* [Berg] Burret).
- In: Yahia, E.M. (Ed.), Postharvest biology and technology of tropical and subtropical fruits: cocona to mango, 3. Woodhead Publishing Ltd., UK, pp.115-135. 2011.
- [16] Morton, J.F., Fruit of Warm Climates. 1987: Florida Flair Books, Miami, FL.
- [17] Vuotto, M.L., Basile, A., Moscatiello, V., Desole, P., Cobianchi, R.C., Laghi, E., Ielpo, M.T.L. 2000, Antimicrobial and antioxidant activities of *Feijoa sellowiana* fruit. International Journal of Antimicrobial Agents, 13, 197-201.
- [18] Weston, R.J. 2010, Bioactive products from fruit of the feijoa (*Feijoa sellowiana*, Myrtaceae): a review. Food Chemistry, 121 923-926.
- [19] Wen, L., Lin, L., You, L., Yang, B., Jiang, G., Zhao, M. 2011, Ultrasound-assisted extraction and structural identification of polysaccharides from *Isodon lophanthoides* var. *gerardianus* (Bentham) H. Hara. Carbohydrate Polymers, 85, 541-547.
- [20] Dubois, M., Gilles, K.A., Hamilton, J.K., Rebers, P.A., Smith, F. 1956, Colorimetric Method for determination of sugars and related substances. Analytical Chemistry, 28, 350-356.
- [21] Li, J.E., Nie, S.P., Xie, M.Y., Li, C. 2014, Isolation and partial characterization of a neutral polysaccharide from *mosla chinensis maxim.* Cv. *Jiangxiangru* and its antioxidant and immunomodulatory activities. Journal of Functional Foods, 6, 410-418.
- activities. Carbohydrate Polymers, 185, 127-137.
- [5] Jalili Safaryan, M., Ganjloo, A., Bimakr, M., Zarringhalami, S. 2016, Optimization of Ultrasound-assisted extraction, preliminary characterization and *in vitro* antioxidant activity of polysaccharides from green pea pods. Foods, 5, doi:10.3390/foods5040078.
- [6] Ma, Y.-L., Zhu, D.-Y., Thakur, K., Wang, C.-H., Wang, H., Ren, Y.-F., Zhang, J.-G., Wei, Z.-J. 2018, Antioxidant and antibacterial evaluation of polysaccharides sequentially extracted from onion (*Allium cepa* L.). International Journal of Biological Macromolecules, 111, 92-101.
- [7] Caicai, K., Limin, H., Liming, Z., Zhiqiang, Z., Yongwu, Y. 2018, Isolation, purification and antioxidant activity of polysaccharides from the leaves of maca (*Lepidium Meyenii*). International Journal of Biological Macromolecules, 107, 2611-2619.
- [8] Yin, C., Fan, X., Fan, Z., Shi, D., Gao, H. 2018, Optimization of enzymes-microwave-ultrasound assisted extraction of *Lentinus edodes* polysaccharides and determination of its antioxidant activity. International Journal of Biological Macromolecules, In press. <https://doi.org/10.1016/j.ijbiomac.2018.01.007>.
- [9] Khemakhem, I., Abdelhedi, O., Trigui, I., Ayadi, M.A., Bouaziz, M. 2018, Structural, antioxidant and antibacterial activities of polysaccharides extracted from olive leaves. International Journal of Biological Macromolecules, 106, 425-432.
- [10] Fakhfakh, N., Abdelhedi, O., Jdir, H., Nasri, M., Zouari, N. 2017, Isolation of polysaccharides from *Malva aegyptiaca* and evaluation of their antioxidant and antibacterial properties. International Journal of Biological Macromolecules, 105, 1519-1525.
- [11] Wang, W., Wang, X., Ye, H., Hu, B., Zhou, L., Jabbar, S., Zeng, X., Shen, W. 2016, Optimization of extraction, characterization and antioxidant activity of polysaccharides from *Brassica rapa* L. International Journal of Biological Macromolecules, 82, 979-988.
- [12] Jooyandeh, H., Noshad, M., Khamirian, R.A. 2018, Modeling of ultrasound-assisted extraction, characterization and *in vitro* pharmacological potential of polysaccharides from *Vaccinium arctostaphylos*

- activity of intracellular selenium polysaccharide by *Cordyceps sinensis* SU-02. *Carbohydrate Polymers*, 86, 1745- 1750.
- [31] Wu, Y., Cui, S.W., Tang, J.,Gu, X. 2007, Optimization of extraction process of crude polysaccharides from boat-fruited *sterculia* seeds by response surface methodology. *Food Chemistry*, 105, 1599-1605.
- [32] Sun, Y., Liu, J., Kennedy, J.F. 2010, Application of response surface methodology for optimization of polysaccharides production parameters from the roots of *Codonopsis pilosula* by a central composite design. *Carbohydrate Research*, 80, 949-953.
- [33] He, R., Zhao, Y., Zhao, R.,Sun, P. 2015, Antioxidant and antitumor activities *in vitro* of polysaccharides from *E. sipunculoides*. *International Journal of Biological Macromolecules*, 78, 56-61.
- [34] Al-Sheraji, S.H., Ismail, A., Manap, M.Y., Mustafa, S., Yusof, R.M.,Hassan, F.A. 2012, Purification, characterization and antioxidant activity of polysaccharides extracted from the fibrous pulp of *Mangifera pajang* fruits. *LWT - Food Science and Technology*, 48, 291-296.
- [35] Luo, A., He, X., Zhou, S., Fan, Y., Luo, A.,Chun, Z. 2010, Purification, composition analysis and antioxidant activity of the polysaccharides from *Dendrobium nobile* Lindl. *Carbohydrate Polymers*, 79, 1014-1019.
- [36] Jiang, C., Li, X., Jiao, Y., Jiang, D., Zhang, L., Fan, B.,Zhang, Q. 2014, Optimization for ultrasound-assisted extraction of polysaccharides with antioxidant activity *in vitro* from the aerial root of *Ficus microcarpa*. *Carbohydrate Polymers*, 110, 10-17.
- [37] Figueiro, S.D., Goes, J.C., Moreira, R.A.,Sombra, A.S.B. 2004, On the physic-chemical and dielectric properties of glutaraldehyde crosslinked galactomannan-collagen films. *Carbohydrate Research*, 56, 313-320.
- [38] Li, S. Q., Shah, N.P. 2014, Antioxidant and antibacterial activities of sulphatedpolysaccharides from *Pleurotus eryngii* and *Streptococcus thermophilus* ASCC1275. *Food Chemistry*, 165, 262-270.
- [39] Lai, F., Wen, Q., Li, L., Wu, H.,Li, X. 2010, Antioxidant activities of water-soluble polysaccharide extracted from mung bean (*Vigna radiata* L.) hull with ultrasonic [22] Chen, Y., Luo, H., Gao, A.,Zhu, M. 2011, Ultrasound-assisted extraction of polysaccharides from litchi (*Litchi chinensis Sonn.*) seed by response surface methodology and their structural characteristics. *Innovative Food Science and Emerging Technologies*, 12, 305-309.
- [23] Olatunji, O.J., Feng, Y., Olatunji, O.O., Tang, J., Wei, Y., Zhen, O.Y.,Su, Z.L. 2016, Polysaccharides purified from *Cordyceps cicadae* protects PC12 cells against glutamate-induced oxidative damage. *Carbohydrate Polymers*, 153, 187-195.
- [24] Xie, J.-H., Shen, M.-Y., Xie, M.-Y., Nie, S.-P., Chen, Y., Li, C., Huang, D.-F.,Wang, Y.-X. 2012, Ultrasonic-assisted extraction, antimicrobial and antioxidant activities of *cyclocarya paliurus* (batal.) iljinskaja polysaccharides. *Carbohydrate Polymers*, 89, 177-184.
- [25] You, Q., Yin, X., Zhang, S.,Jiang, Z. 2014, Extraction, purification, and antioxidant activities of polysaccharides from *Tricholoma mongolicum Imai*. *Carbohydrate Polymers*, 99, 1-10.
- [26] Bimakr, M., Rahman, R.A., Salina Taip, F., Adzahan, N.M., Sarker, M.Z.I.,Ganjloo, A. 2013, Supercritical carbon dioxide extraction of seed oil from winter melon (*Benincasa hispida*) and its antioxidant activity and fatty acid composition. *Molecules*, 18, 997-1014.
- [27] Muralidhar, R.V., Chirumamila, R.R., Marchant, R.,Nigam, P. 2001, A response surface approach for the comparison of lipase production by *Candida cylindra* ceasing two different carbon sources. *Biochemical Engineering Journal*, 9, 17-23.
- [28] Zhang, T.T., Lu, C.L., Jiang, J.G., Wang, M., Wang, D.M.,Zhu, W. 2015, Bioactivities and extraction optimization of crude polysaccharides from the fruits and leaves of *Rubus chingii* Hu. *Carbohydrate Polymers*, 130, 307-315.
- [29] Zhang, J., Meng, G., Zhai, G., Yang, Y., Zhao, H.,Jia, L. 2016, Extraction, characterization and antioxidant activity of polysaccharides of spent mushroom compost of *Ganoderma lucidum*. *International Journal of Biological Macromolecules*, 82, 432-439.
- [30] Wang, L., Wang, G., Zhang, J., Zhang, G., Jia, L., Liu, X., Deng, P.,Fan, K. 2011, Extraction optimization and antioxidant

- [43] Shia, J.-J., Zhang, J.-G., Sun, Y.-H., Qu, J., Li, L., Prasad, C., Wei, Z.-J. 2016, Physicochemical properties and antioxidant activities of polysaccharides sequentially extracted from peony seed dred, International Journal of Biological Macromolecules, 91, 23-30.
- [44] Cheng, Z., Zhang, Y., Song, H., Zhou, H., Zhong, F., Hu, H., Feng, Y. 2016, Extraction optimization, characterization and antioxidant activity of polysaccharide from *Gentiana scabra* bge. International Journal of Biological Macromolecules, 93, 369-380.
- [45] Mkadmini Hammi, K., Hammami, M., Rihouey, C., Le Cerf, D., Ksouri, R., Majdoub, H. 2016, Optimization extraction of polysaccharide from Tunisian *Zizyphus lotus* fruit by response surface methodology: Composition and antioxidant activity, Food Chemistry, 212, 476-484.
- assisted treatment. Carbohydrate Polymers, 81, 323-329.
- [40] Jahanbin, K., Gohari, A.R., Moini, S., Emam Djomeh, Z., Masi, P. 2011, Isolation, structural characterization and antioxidant activity of a new water-soluble polysaccharide from *Acanthophyllum bracteatum* roots. International Journal of Biological Macromolecules, 49, 567-572.
- [41] Romdhane, M.B., Haddar, A., Ghazala, I., Jeddou, K.B., Helbert, C.B., Ellouz-Chaabouni, S. 2017, Optimization of polysaccharides extraction from watermelon rinds: Structure, functional and biological activities, Food Chemistry, 216, 355-364.
- [42] Zhai, X., Zhu, C., Li, Y., Zhang, Y., Duan, Z., Yang, X. 2018, Optimization for pectinase-assisted extraction of polysaccharides from pomegranate peel with chemical composition and antioxidant activity. International Journal of Biological Macromolecules, 109, 244-253.

Extraction optimization, chemical, structural characterization and antioxidant activity of water-soluble polysaccharides from Feijoa leave

Moradian, M.¹, Ganjloo, A.^{2*}, Bimakr, M.²

1. MSc in Food Technology, Department of Food Science and Engineering, Faculty of Agriculture, University of Zanjan, Zanjan, Iran

2. Assistant Professor, Department of Food Science and Engineering, Faculty of Agriculture, University of Zanjan, Zanjan, Iran

(Received: 2018/02/20 Accepted: 2018/10/21)

Finding natural, inexpensive and new polysaccharides resources is essential due to the high potential for utilization in the food and medicinal industries. Therefore, the current study was aimed to extraction optimization of polysaccharides from Feijoa leaves in order to maximize extraction yield and, evaluate chemical, structural characteristics and antioxidant activity. In this regard, the effects of three independent parameters including extraction temperature (50-90°C), pH of water (3.5-5.5) and extraction time (1-4 h) on the extraction yield were studied. Optimum conditions were obtained at extraction temperature of 68°C, pH of 6.75 and extraction time of 2.96 h. Under optimum conditions, the predicted yield (3.38%) was consistent with the experimental yield (3.35±0.02%). The preliminary chemical characteristics of the polysaccharides extracted from the Feijoa leaves were determined under optimum conditions. Based on the results obtained, total carbohydrate content was 54.77%, polyphenols and protein were 0.14 mg GAE/g and 0.18%, respectively. The FT-IR spectrum demonstrated obvious characteristic peaks of polysaccharides. Feijoa leave polysaccharides mainly consisted of glucose, ribose, mannose, arabinose and galactose. The results of antioxidant activity revealed the good ability of Feijoa leave polysaccharides to scavenge DPPH free radicals and to reducing iron ions. Finally, the Feijoa leave can be introduced as a natural, inexpensive and new resource for the extraction of polysaccharides with good biological activity for the production of functional foods or medicines.

Keywords: Extraction, Polysaccharides, Feijoa leave, Optimization, Antioxidant activity.

* Corresponding Author E-Mail Address: aganjloo@znu.ac.ir